

Kinematika - 1

- sled a pohyb jsou relativní
- dráha a trajektorie
- dělení pohybu

$$a = \frac{dv}{dt} \Rightarrow v = a \cdot t + v_0 \Rightarrow s = \frac{1}{2} a t^2 + v_0 t + s_0$$

$$v = \frac{ds}{dt}$$

- rovný pád - $v_0 = 0$, vakuum, → má svistý směr
- pohyb po kružnici

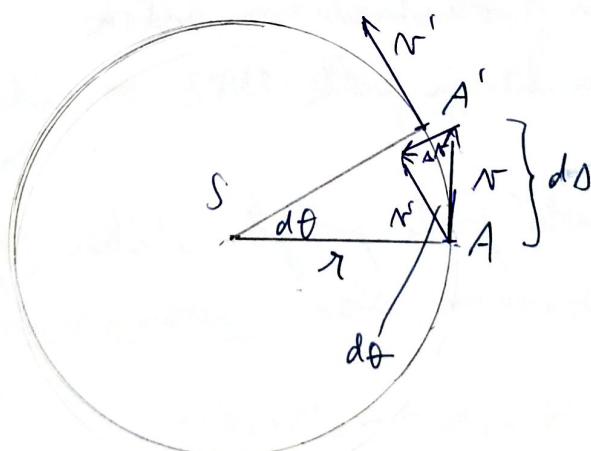
- úhlová dráha ϑ (průvodící)

- úhlová rychlosť $\omega = \frac{d\vartheta}{dt}$

- T, f

- $v = 2\pi r \cdot f \quad \left. \begin{array}{l} v = \omega r \\ \omega = 2\pi \cdot f \end{array} \right\} v = \omega r$

- a_d



$$\frac{\Delta N}{N} = \frac{\Delta \vartheta}{\vartheta}$$

$$\frac{\Delta v}{\Delta t} = \frac{v}{r} \cdot \frac{\Delta \vartheta}{\Delta t}$$

$$a_d = \frac{v^2}{r} = \omega^2 r$$

Dynamika - 2

- izolovaný hmotný bod, soustava těles
- inerciální (slib, rovnoměrný pohyb) / neinerciální relativní soustavy

- NPZ

- hybnost $\vec{p} = m \cdot \vec{v}$ $\vec{F} = m \cdot \ddot{\vec{r}}(t)$ pohybová rovnice

$$\vec{F} = m \cdot \vec{a} = m \cdot \frac{d\vec{v}}{dt} = \frac{d\vec{p}}{dt} \Rightarrow \vec{F} dt = \Delta \vec{p}$$

- ZZH $\vec{p} = \vec{p}_0 : 3.NPZ: \vec{F}_1 = -\vec{F}_2 \Rightarrow \Delta \vec{p}_1 = -\Delta \vec{p}_2 \xrightarrow{\text{impulz sily}} \vec{p}_{10} - \vec{p}_1 = -(\vec{p}_{20} - \vec{p}_2)$

Odpověď síly

- Slabová síla $F_m = F_G \cdot \cos \alpha$ (síla, kterou těleso působí kolmo na polohu)
- Třecí síla $F_t = f \cdot F_m$

→ smyčce síly → rameno valivého odporu je

$$\bullet \text{valivý odpor } F_v = F_m \cdot \frac{\kappa}{r}$$

$$\bullet \text{odstředivá síla } \vec{F}_d = m \cdot \vec{a}_d \quad a_d = \frac{v^2}{r}$$

A působí na B odstředivou silou

⇒ B působí na A odstředivou silou

→ A a B se chorají podle 1.NPZ ⇒ cíl „odstředivou“ silou

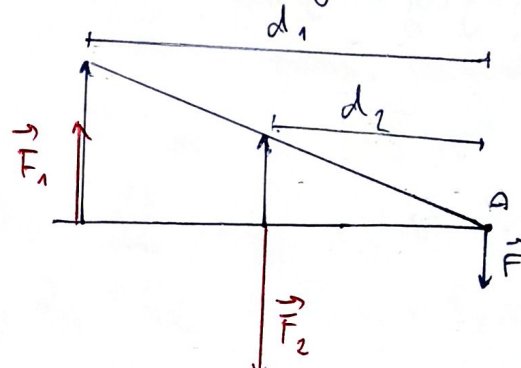
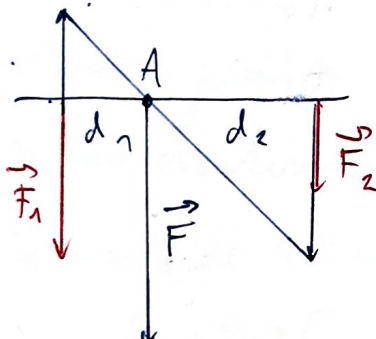
$$|\vec{F}_m| = |\vec{F}_d|$$

→ sílu sekvenciability

\vec{F}_1, \vec{F}_v působí proti pohybu tělesa (opací směr)

Mechanika hmotného tělesa - 3

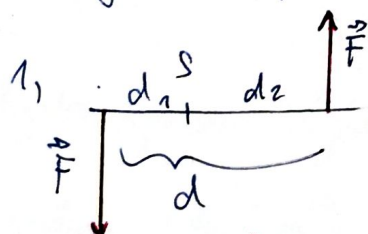
- dozona hmotného tělesa
- pohyb hmotného tělesa
 - translace - všechny stejné ν
 - rotace - všechny stejné ω
- inertní síla = působivé výsledné F_G
- moment sevračnosti
 - vyjadřuje měru sevračnosti při rotaci
 - hmotného bodu: $J = \frac{1}{2}mr^2$
 - Steinerova věta: $J = J_0 + md^2$
 - celková E_K : $E_K = \sum_{i=1}^m \frac{1}{2}m_i r_i^2 \omega^2 = \frac{1}{2} \sum_{i=1}^m m_i \omega^2 r_i^2 = \frac{1}{2}\omega^2 \sum_{i=1}^m m_i r_i^2 = \frac{1}{2}J\omega^2$
- moment síly M
 - vyjadřuje otáčivý účinek síly na těleso
 - rameno síly d $\Rightarrow M = F \cdot d$ $[M] = Nm$
 - směr M \rightarrow PPR
 - momentová věta: podle celkového $M = 0$, pokud otáčivý účinek není
- Elodiny - pevná, volná, jednoduchý elodioskop
- základní síly



M n. bodě A je roven 0

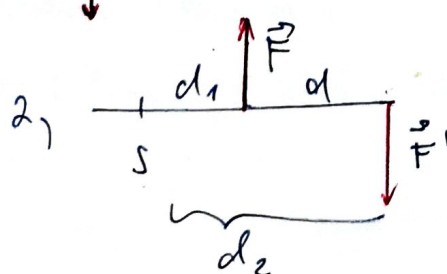
$$\begin{aligned} &\Rightarrow M_1 = M_2 \\ &F_1 d_1 = F_2 d_2 \\ &\vec{F} = \vec{F}_1 + \vec{F}_2 \end{aligned}$$

- M dvojice sil opačného směru - může nahradit jednu silou



$$M = M_1 + M_2 = F_1 d_1 + F_2 d_2 = F d$$

$$\underline{M = Fd}$$



$$M = |M_1 - M_2| = |Fd_1 - Fd_2| = F|d_1 - d_2| = Fd$$

Práce a energie

- 4

- $W = \vec{F} \cdot \vec{s} = \int_0^l \vec{F} \cdot d\vec{s} = \int_0^l \vec{F} \cdot \vec{N} dl ; W < 0, W > 0$
- $W = \vec{F} \cdot \vec{s} = m \cdot a \cdot \frac{1}{2} al^2 = \frac{1}{2} mv^2 ; W = \Delta E_K \text{ podle } v_0 \neq 0$
- práce x energie
- úloha potenciální energie - volný pád r. h₁ do h₂
 $W = F_G \cdot s = m \cdot g (h_1 - h_2) = \Delta E_p \Rightarrow E_p = mgh$
- nulaří potenciální hladina
- průměrný výkon $P = \frac{W}{t}$ ZZME $\sim 1.T.z.$
- okamžitý výkon $P = \frac{dW}{dt}$
- účinnost $\eta = \frac{P}{P_0} \quad P_0 = \frac{E}{t}$
- energie pružiny
 $F = -ky \Rightarrow W = \int_0^y kyd y = \frac{1}{2} ky^2$

Mechanika kapalin a plynu - 5

- sestaviny, ideální kapalina a plyn, viskozita
- slad v telesiných $\rho = \frac{F}{S}$, F působí kolmo
- Pascalův zákon + hydraulické zákoně $\rho = \frac{F_1}{S_1} = \frac{F_2}{S_2}$
- hydrostatická sladová síla 3.NPZ

$$F_h = G = m \cdot g = V \cdot \rho \cdot g = S \cdot h \rho g \Rightarrow \rho_a = h \rho g$$

- hydrostatické paradotom - nerovná na objemu \rightarrow stejný ρ_h
- atmosférická sladová síla 3.NPZ

$$\Rightarrow \rho_a = \frac{F_a}{S} \quad (\text{různá } \rho \text{ vzdachu})$$

- Toricellovo pouzdro - ρ_a formou různovysokého sloupu $\Rightarrow \rho_a = h \rho g$
- vzdalová síla + Archimedův zákon

$$F_{VZ} = F_{h_2} - F_{h_1} = S \rho g h_2 - S \rho g h_1 = S \rho g h = V \cdot \rho \cdot g \xrightarrow{\text{telesina}} = m \cdot g = G$$

- proudením ideální \times reálné kapaliny
 - ↳ laminární, turbulenta proudeře
 - ↳ $F_{od} = \frac{1}{2} C \cdot S \cdot \rho \cdot V^2$ proudnice

$$- objemový průtok Q_v = \frac{dV}{dt} = \frac{S \cdot ds}{dt} = S \cdot V$$

$$- rovnice kontinuity Q_{v1} = Q_{v2} \Rightarrow S_1 V_1 = S_2 V_2 \Rightarrow \frac{S_1}{S_2} = \frac{V_2}{V_1}$$

$$- Bernoulliho rovnice + E_p = F \cdot A = \rho \cdot S \cdot A = \rho \cdot V$$

$$E_k + E_p + E_g = \text{konst}$$

$$\frac{1}{2} m V^2 + \rho V + mgh = \text{konst} \Rightarrow \frac{1}{2} V P \rho V^2 + \rho V + V \rho g h = \text{konst}$$

$$\text{pro jednotlivý objem} \Rightarrow \frac{1}{2} S V^2 + \rho + \rho g h = \text{konst.}$$

$$- hydrodynamické paradotom \quad \rho V \rightarrow \frac{1}{2} \rho V^2$$

$$- (vodní výševa)$$

$$- vzdálová rychlosť E_p = E_k \Rightarrow \rho V = \frac{1}{2} m V^2$$

$$\rho g V = \frac{1}{2} S V V^2$$

výška headingley

$$\rho g = \frac{1}{2} V^2 \Rightarrow V = \sqrt{2gh}$$

Gravitační pole a pohyby v něm - 6

- Newtonov gravitační zákon $F_g = G \cdot \frac{m_1 m_2}{r^2}$
- centrální gravitační pole
 - intenzita gravitačního pole $K = \frac{F_g}{m} = G \cdot \frac{M}{r^2}$
 - kruhová rychlosť $F_g = F_d \Rightarrow G \frac{m M}{r^2} = m \cdot \frac{v_K^2}{r} \Rightarrow v_K = \sqrt{G \frac{M}{r}}$
 - $1. KR = 7900 \text{ m/s}$
- Keplerovy zákony: 2. plošná rychlosť je konstantní 3. $\left(\frac{T_1}{T_2}\right)^2 = \left(\frac{a_1}{a_2}\right)^3$
- homogenní gravitační pole - všechno stejné vlastnosti
 - Sírové zrychlení $\vec{F}_G = \vec{F}_g + \vec{F}_{od} \Rightarrow \vec{g} = \frac{\vec{F}_G}{m}$
 - Sírová síla = síla, kterou Země působí na tělesa na Zemi má stejný pořadí
 - Tíha = síla, kterou těleso působí na podložku / rávěs
 - sírový vrh
$$v_x = \cos(\alpha) \cdot v_{0x} \Rightarrow x = \cos(\alpha) \cdot v_{0x} t$$
$$v_y = \sin(\alpha) \cdot v_{0x} - g \cdot t \Rightarrow y = h + \sin(\alpha) v_{0x} t - \frac{1}{2} g t^2$$
 - svislý vrh dolů $\rightarrow \alpha = \frac{3}{2}\pi$
 - svislý vrh vzhůru $\rightarrow \alpha = \frac{\pi}{2}$
 - vedrový vrh $\rightarrow \alpha = 0$
 - volný pád $\rightarrow \alpha = \frac{1}{2}\pi, v_{0x} = 0$

Molekulárne kinetická teorie látiek - 7

- kinetická teorie látiek
 - diskrétná struktúra
 - sepelnyj pohyb
 - vnútorná potenciálna energie
- atomová hmotnosť konštantka $m_n = \frac{1}{12} m(^{12}_6C)$

$$A_R = \frac{m_a}{m_n} \quad M_R = \frac{m_m}{m_n}$$

- Avogadrova konšanta N_A = počet čästíc v 1 molu látky
- $m \cdot N_A = N \quad M_m \cdot N = m \quad V_m \cdot N = V \quad V_m = 22,4 \text{ l/mol}$ - plynný
- $M_m = \frac{1}{N} \cdot m = \frac{N_A}{N} \cdot N \cdot m_n = N_A \cdot m_n \cdot M_R = M_R \cdot 10^3 \text{ kg/mol}^{-1} = M_R \text{ g/mol}^{-1}$
- struktúra látiek \rightarrow vnútorná $E_K \times E_P$
- termodynamická sústava, stavové veličiny
 - vnejsí: m, V, U, n
 - vnútorné: T, P, S
- vnútorná energie tlesa $V = E_K + E_P$
- teplota: $\lambda (0^\circ, 100^\circ) \quad T (T_r = 0,01^\circ C = 273,16 K) \quad \{T\} = \{\lambda\} + 273,15$
- sepelna' rýma + teplo $|_{\Delta U_1}| = |_{\Delta U_2}|$
- sepelna' kapacita tlesa: $Q = C \cdot \Delta T = m \cdot c \cdot \Delta T$
- Láborimetr $|_{\Delta U_1}| = |_{\Delta U_2}| \Rightarrow C_K \Delta T + C_S M_2 \Delta T = C_1 M_1 |_{\Delta T}|$
- sepelna' rodivosť $Q \sim \lambda, S, \Delta T, A \quad Q \sim \frac{1}{\rho t}$
- prenos vnútorného E - rázemi, medzemi, pravdepodobnosťmi
- $1.TZ \quad \Delta U = W + Q$

Struktura a vlastnosti plynových skupenství - 8

- ideální plyn
- celková E_k plynu \Rightarrow střední kv. rychlos! $N_E = \sqrt{\frac{3kT}{m_0}}$ $k = \text{Boltzmannova konstanta}$
- fluctuace tlaku plynu
- objemová hustota čistic $N_V = \frac{N}{V} \Rightarrow \mu = \frac{1}{3} N_V \cdot M_0 \cdot N_E^2$
- stavová rovnice ideálního plynu $p \cdot V = \varrho \cdot N \cdot T = m \cdot R \cdot T$
- stála hustota $\Rightarrow \frac{pV}{T} = \text{konst.}$
- polytropický dej - něž se mění
- izotropický - $p \cdot V = \text{konst.}$; $\Delta V = 0 \Rightarrow Q_T = W'$
- izochorický - $\frac{p}{T} = \text{konst.}$; $W = 0 \Rightarrow \Delta V = Q_V = C_V m \Delta T$
- izobarický - $\frac{V}{T} = \text{konst.}$; $\Delta V = W + Q_p = W + C_p m \Delta T$
- adiabatický - $Q = 0 \Rightarrow \Delta V = W; \gamma = \frac{C_p}{C_V} \Rightarrow p \cdot V^\gamma = \text{konst.}$
- práce vykonaná plynem
- $$W' = F \cdot \Delta S = p \cdot S \cdot \Delta S = p \cdot \Delta V = \int_{V_1}^{V_2} p \, dV$$
- druhový dej - konečný stav = počáteční stav \Rightarrow rozšíření trubice \rightarrow práce vykonaná plynem = obsah obvodu $\Rightarrow \Delta V = 0 \Rightarrow W' = 0$
- účinnost druhového deje
- $T_1 = T_2 \Rightarrow \Delta V = 0 \Rightarrow W' = Q = Q_1 - Q_2 \Rightarrow \eta = \frac{W'}{Q_1} = \frac{Q_1 - Q_2}{Q_1} = 1 - \frac{Q_2}{Q_1}$
- Carnotův cyklus = 2 izotermy + 2 adiabaty $\Rightarrow \frac{Q_2}{Q_1} = \frac{T_2}{T_1}$
- $2 \cdot TZ$

Struktura a vlastnosti kapalin a pevných látek - 9

- pevné látky - krytalické, amorfni
 - ideální krytalická mřížka → krychlová soustava, mřížkový parametr
 - prostá el. s., plošně centrovana, prostorově centrovana
 - průchody - vakance, intersticiální poloha, působení
 - deformace - pružné + elastické
 - ↳ Sabrem, Blattem, Ohinem, Eroucením, singrem
 - síly pružnosti
 - normálové napětí $\sigma_n = \frac{F_b}{S}$; σ_E ; σ_p → pevnost; $\lambda = \frac{\sigma_n}{\sigma}$, coefficient bezprinosti, poměr pružnosti
 - Hookeův zákon pro pružnost deformaci v tahu: $\sigma \sim \epsilon = \frac{\Delta l}{l_0}$
 - ↳ Tangentní modul $E \Rightarrow \sigma_n = E \cdot \epsilon$
 - neplastická roztažitelnost $\lambda = l_1(1+\alpha \Delta l)$
 - objemová $V = V_1(1+\alpha \Delta l)^3 \approx V_1(1+3\beta \Delta l)$ $3\beta = \beta$
 - závislost hustoty $\rho = \frac{m}{V} = \frac{m}{V_1(1+\beta \Delta l)} = \frac{m(1-\beta \Delta l)}{V_1(1-\beta^2 \Delta l^2)} \approx \rho_1(1-\beta \Delta l)$
-
- $V = V_1(1+\beta \Delta l)$ $\rho = \rho_1(1-\beta \Delta l)$
 - anomálie vody ($0^\circ - 4^\circ$)
 - povrchová vlnová rozdílina
 - povrchové napětí $\sigma = \frac{F}{l}$ F = povrchová síla l = délka ohrady blána
 - jevy na rozhraní pevného tělesa a kapaliny
 - stykový úhel, kapilární tlak \rightarrow nálevového povrchu $\rho_x = \frac{2\sigma}{R}$
 - kapilární jevy - smácivé \rightarrow elevace
nesmácivé \rightarrow deprese
 - výška vystoupení $h = \rho_x R / \sigma g$

Stupeňné píewiny - 10

- stupeňné - pevné, kapalné, plynné, plasma + vlastnosti
- fare - rozhývají se stabilita a krytalické mikice
- tání (kuhničky) $Q_1 \rightarrow L_s = m \cdot l_s \rightarrow Q_2$

• rávistota L_s na vnejsím tlaku: $P_f \rightarrow P_{f1}$, regelace

- sublimace - za všech teplot $L_s = m \cdot l_s$

- vyparování

• z volného povrchu - za všech teplot, maximální rychlosť $L_v = m \cdot l_v$

• z väčšieho objemu = var $\rightarrow P_f \rightarrow P_{f2} \rightarrow$ fapinúr horneč

• v určenej mäkkobe

- rovnomerný stov, súčasť pará - $p_x = p_f \wedge T_x = T_f$

- prehrátka, podchlavená pará

- kondenzácia

- absolutná vlhkosť vzduchu $\phi = \frac{m}{V}$

- relativná vlhkosť vzduchu $\psi = \frac{\phi}{\phi_m}$

- rosny bod $A_r \rightarrow$ teplota, pri ktorej by bolo aktuálnym ϕ maximálnim (ϕ_m)

- faradz' diagram

Elektrostaticka - 11

- elektrický náboj - star tělesa, $Q = n \cdot e$, $\oplus \ominus$
- coulombův zákon $F_e = k \frac{Q_1 Q_2}{r^2}$, $k = \frac{1}{4\pi\epsilon}$ permitivita
- elektrické pole - radialem
homogenní
- veličiny charakterizující el. pole
 - intenzita + silovým $\vec{E} = \frac{\vec{F}_e}{q} = k \cdot \frac{Q}{r^2}$; $E = \frac{G}{2\epsilon}$ $[E] = \frac{N}{C} = \frac{V}{m}$
 - napětí $U = \frac{W_{AB}}{q} = \frac{\vec{F}_e d}{q} = Ed$ hom.
 - potenciál $\varphi = \frac{Er}{q} \Rightarrow \varphi_A - \varphi_B = \frac{\Delta Er}{q} = \frac{W_{AB}}{q} = U$

$$\text{rod.} \rightarrow \varphi = \frac{1}{q} W = \frac{1}{q} \int_0^\infty F_e dr = \int_0^\infty E dr = \int_0^\infty k \frac{Q}{r^2} dr = - \frac{kQ}{r} \Big|_0^\infty = k \cdot \frac{Q}{r} = EM$$

- el. pole nabitého vodivého tělesa $\rightarrow Q$ působí na povrchu

- loulk - Newtonova metoda s silou E , Q (stejný)

$$\hookrightarrow \sigma = \frac{Q}{S} \Rightarrow E = k \frac{Q}{R^2} = \frac{1}{4\pi\epsilon} \cdot \frac{4\pi R^2 \sigma}{R^2} = \frac{G}{\epsilon}$$

- nepravidelné těleso E , Q , $\sigma = \frac{dQ}{dS}$

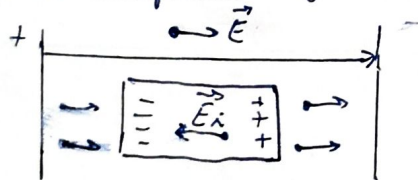
- elektrická kapacita $Q = C\varphi \rightarrow$ loulk: $C = Q \cdot \frac{R}{k \cdot Q} = \frac{R}{k}$

- kondenzátor $Q = C \cdot U$; $Q = SG = S \cdot \epsilon \cdot E = S \cdot \epsilon \frac{U}{d} \Rightarrow C = \epsilon \cdot \frac{S}{d}$

- upojení: $\mu : Q = Q_1 + Q_2 \rightarrow C = C_1 + C_2$ | $\Delta \rightarrow U = U_1 + U_2 \Rightarrow \frac{Q}{C} = \frac{Q}{C_1} + \frac{Q}{C_2}$

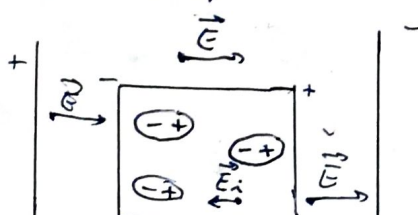
- energie: vybíjení \Rightarrow vše rmešuje $\Rightarrow (W = QU) \Rightarrow E = \int_0^U q dU = \int_0^U CV dV = \frac{1}{2} CV^2$

- vodič v el. poli - je elektrostatiskej indukce



vnitřní vodice: $\vec{E}_v = \vec{E}_i + \vec{E} = 0$

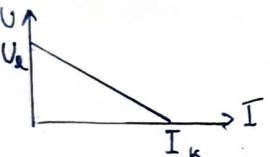
- vnitřní v. el. poli - dielektrikum



vnitřní dielektrika: $\vec{E}_v = \vec{E} + \vec{E}_i = \vec{E} - \vec{E}_i$

$$\Rightarrow \frac{E}{E_v} = \epsilon_r \quad \begin{cases} \text{polarizace dielektrika} \\ \rightarrow \text{natočený dipól} \end{cases}$$

Elektrický proud, elektrický obvod - 12

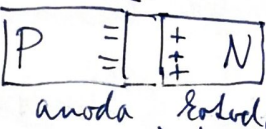
- proud - déj ; $I = \frac{Q}{t}$ (elektrický náboj \oplus) , ampermetr
- elektrický obvod - I je podmíněn uvedením V
 - nejší část obvodu - svorkové napětí $\rightarrow W = QV$
 - vnitřní zdroje - $F_m \Rightarrow F_e \Rightarrow W_z = V_e \cdot Q$ - elektromotorné napětí
- ϕ spotřebič ($V = V_e$) ; spotřebič $\rightarrow R \rightarrow I \cdot V \Rightarrow V < V_e$
- Galvanometr, fotovoltaické článek, kap.-akumulátory $C = As \Rightarrow mAh$
- ohmův zákon pro část obvodu $I \sim V$; $V = RI$ $[G] = \text{Siemens}$ $R = \Omega \frac{\ell}{S}$
 $R = R_1(1 + \alpha \Delta T)$ vs polarodie
- sforzární rezistor $\rightarrow \mu : I = I_1 + I_2 \rightarrow \frac{V}{R} = \frac{V}{R_1} + \frac{V}{R_2}$; $\therefore V = V_1 + V_2 \rightarrow RI = R_1 I + R_2 I$
 \hookrightarrow rezistor \times potenciometr
- ohmův zákon pro vnitřní obvod - reálný proud


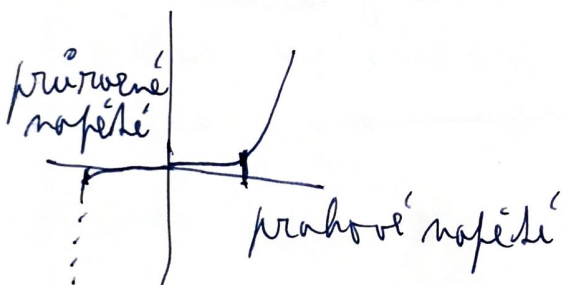
ubytovací napětí na vnitřním odporu zdroje

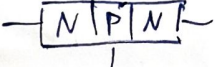
$$I(R_i) = V_e - V \quad \xrightarrow{RI} I(R + R_i) = V_e \quad I_K = \frac{V_e}{R_i}$$
- výkon $P = \frac{W}{t} = \frac{VQ}{t} = \frac{VI\Delta t}{t} = VI \quad \left. \begin{array}{l} \gamma = \frac{V}{V_e} = \frac{R}{R + R_i} \\ P_0 = V_e I \end{array} \right\}$
- Kirchhoffovy zákon
 - elektrické síti - mrež, reťaz súčada
 - I.KZ: $\sum_i I_i = 0$ všetky smeradlá súčady a mrež
 - II.KZ: $\sum_i V_i = \sum_j V_{ej}$ \Rightarrow rovnice

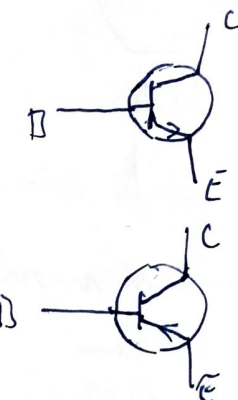
Elektrický proud v polovodičích - 13

$\alpha < 0$

- resistivita materiálu $\ll \text{polovodík} \ll \text{metál}$ silná s tepelnou $R = R_0(1 + \alpha T)$
- vlátná vodivost polovodičů - S_i :
 $4e^- \rightarrow \text{generace}, \text{rekombinace}, \text{fórmuly chury}$
- přímočará vodivost polovodičů - P / Al
 $\text{Je}^- \rightarrow \text{donor} \rightarrow \text{elektronová vodivost} \rightarrow N$ (elodné i^-)
 $3e^- \rightarrow \text{akceptor} \rightarrow \text{dérrová vodivost} \rightarrow P$ (rájové i^+)
- PN přechod  brodlova vlna
- polovodičová dioda 
- VT charakteristika pol. diody



- transistor 



transistorový jev
 $\downarrow V \approx \text{obvod } B$
 se myslí V na obvod C

Elektrický proud v elektrolyzích, plynach a rzedu - 14

- elektrolyt, elektrolytická dissociace $\text{NaCl} \rightarrow \text{Na}^+ + \text{Cl}^-$

- elektrolyza - katoda $\leftarrow \oplus$ krov / rodit
- anoda $\leftarrow \ominus$ lysit / reakce

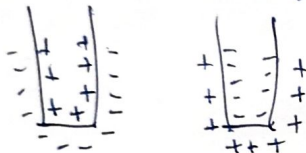
$$1. F-Z. m \sim Q \quad N = \frac{Q}{z \cdot e} \rightarrow m = M \cdot M_m = \frac{N}{N_A} M_m = Q \cdot \frac{M_m}{z \cdot \frac{N_A}{F}} = Q \cdot \frac{M_m}{zF}$$

$$m = QA = IAT$$

2. F-Z $A = \frac{M_m}{zF}$ n různých látek vyznacuje Q je chemický ekvivalenty ($A \sim M_m$)

$$- a) I = \frac{V}{R} \quad b) I = \frac{V - V_r}{R} \quad R = \rho \frac{l}{S} \quad (\text{VA char. elektrolytického rodit})$$

- elektrolytická dvojrozdoba \Rightarrow rozhradné V_r



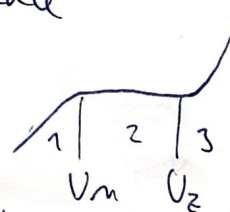
- stejný $\ell \rightarrow \phi U$
- různý $\ell \rightarrow V_r \rightarrow$ galvanický článek

$$V_r = \max(V_e)$$

- ionizace plynů, recombinace

- výboj

- VA char ionizační hovory



2) $I_m =$ nosičový proud

3) $V_r =$ zářební nosič \rightarrow ionizace nárorem $E_k > E_i$

- ionizační energie E_e E elektronu

$$\lambda = \text{míra dráha } e \rightarrow E = F_e \cdot \lambda = qU \cdot \frac{\lambda}{d}$$

$$W = F_e \cdot d = q \cdot U \quad \wedge \quad Q = l$$

- obecný výběr (elektrolyty), jiskrový výběr, koróze

- $\downarrow f \Rightarrow \downarrow$ částic $\Rightarrow \uparrow \lambda \Rightarrow \uparrow E_e \Rightarrow$ ionizace nárorem za $\downarrow U$

- $p = 10^{-8} \text{ Pa}$ - volná se světelný prouzí

- $p = 100 \text{ Pa}$ - anodový sloupec
{ katodové doulivo se sestaví

- $p = 1 \text{ Pa}$ - za K lanákové rázem
za A haldcové rázem

Magnetické pole - 17

a ménou se elektrické pole

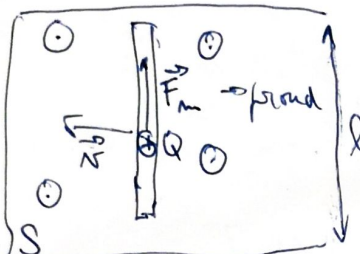
- zdroj = pohybující se nabité částice - p. magnet, vodič s proudem
- magnetické indukce čárgy $N \rightarrow S$; \vec{B} $[B] = T$ $\nabla \cdot \vec{B} = 0$ $B \sim E$
- magnetická síla → Lorentzova síla $\vec{F} = q\vec{E} + q(\vec{v} \times \vec{B})$
- Fm působící na $q \sim \vec{B}, \vec{E}$ → $\vec{F}_m = q(\vec{v} \times \vec{B}) \Rightarrow F_m = qvB \sin \alpha$ FPLR
- m. pole průměrného vodiče s proudem - APPR
 - ↳ proud $\vec{v} \perp \vec{B}$
 - $\vec{F}_m = \vec{F}_d \Rightarrow n$
- m. síla působící na vodič s proudem v m. poli

$$\vec{F} = q(\vec{v} \times \vec{B}) = qI \frac{l}{s} \times \vec{B} = I(l \times \vec{B}) \Rightarrow F = B \cdot I \cdot l \cdot \sin \alpha$$
- D roholi průměrného vodiče s proudem $B = \mu_0 I \frac{1}{2\pi d}$ permeabilita $\mu_0 = 4\pi \cdot 10^{-7} \text{ N A}^{-2}$
- vzájemné silové působení dvou vodičů s proudem (rombejíždějich)
 - do \vec{B}_1 , vložím $I_2 \Rightarrow F_m = B_1 I_2 l = \frac{\mu_0}{2\pi d} I_1 I_2 l$
 - souhlasný směr ⇒ přitáčivá
 - opačný směr ⇒ odhodívá
- magnetické pole vlny APPR pro vlna
 - uvnitř vlny $B = \mu_0 I \frac{N}{l}$ l = délka vlny
 N = počet rámců
 - ↳ jádro vlny
 - diamagnetické l_d
 - paramagnetické l_p
 - promagnetické l_e - Curieva A .
- ⇒ elektromagnet - mělké (svíde) látky
- elektromagnetické role

Elektromagnetická indukce - 18

- nestacionární magnetické pole - polohy jiné se vrací (magnet), vrací s $I = I(t)$
- magnetický indukční tok

$$\phi = \vec{B} \cdot \vec{S} = B \cdot S \cdot \cos\alpha \quad [\phi] = \text{Wb} = \text{Weber}$$



$$U = \frac{W}{q} = \frac{F_{\text{mil}}}{q} = \frac{q(\vec{v} \times \vec{B})l}{q} = nBl.$$

$$U = nBl = \frac{\Delta \Phi}{\Delta t} Bl = \frac{\Delta B}{\Delta t} S = \frac{\Delta \Phi}{\Delta t} \Rightarrow \text{vztažený } F_m$$

$$\Rightarrow U_i = -\frac{\Delta \Phi}{\Delta t}$$

\Rightarrow Lenzův zákon \rightarrow indukce I má směr, který smírá, že změna m.f. působí
prostřednictvím ϕ , která jej vyvratí

- magnetický i. tok úvoly: $\phi = N \cdot B \cdot S = N \mu I \frac{N}{l} \cdot S = \underbrace{\mu N^2}_{L} I = L \cdot I \quad [L] = \text{H}$

$$\Rightarrow U_i = -\frac{\Delta \phi}{\Delta t} = -L \frac{\Delta I}{\Delta t}$$

- energie magnetického pole úvoly: $dE = W = U_i dQ = L \frac{\Delta I}{\Delta t} \cdot Idt = L I dI$

$$\Rightarrow E = \frac{1}{2} L I^2$$

- vlastní indukce úvoly - cívka brání narůšení proudem cívky

- prichodný déj $I = \frac{U_e + U_i}{R} = \frac{U_e - L \frac{\Delta I}{\Delta t}}{R}$

Sířidavý proudu, obvody sítidavého proudu - 15

- rávnit rohuje se s hom. mag. poli $\Rightarrow U_i = -\frac{S\phi}{SA}$

$$\phi = B \cdot S \cos(\omega t) \Rightarrow u = -\frac{d\phi}{dt} = \omega \cdot B \cdot S \sin(\omega t) \quad U_m = \omega B \cdot S$$

• obvod s R: $u = U_m \sin(\omega t) \quad i = I_m \sin(\omega t)$

$$p = ui = U_m I_m \sin^2(\omega t) = P_m \sin^2(\omega t)$$

$$\bar{P} = \frac{W}{T} \quad \text{a } P = \frac{dW}{dt} \Rightarrow W = \int_0^T p dt = P_m \int_0^T \frac{1}{2}(1 + \cos(2\omega t)) dt = \frac{1}{2} P_m T$$

$$- \underline{\text{efektivní proud:}} \quad p = RI = \frac{1}{2}RI_m^2 \Rightarrow I = \frac{I_m}{\sqrt{2}} \quad U = \frac{U_m}{\sqrt{2}} \Rightarrow \bar{P} = UI$$

• obvod s L: Lenzův zákon: u je brání průchodu proudu $\Rightarrow \Delta\varphi = \frac{\pi}{2}$

$$u = U_m \sin(\omega t + \frac{\pi}{2}) = U_m \cos(\omega t)$$

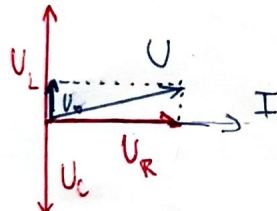
$$\rightarrow \text{induktance} \quad X_L = \frac{U}{I} = L\omega$$

• obvod s C: $(u = U_m \sin(\omega t) \Rightarrow i = I_m \sin(\omega t + \frac{\pi}{2})) \Rightarrow \Delta\varphi = -\frac{\pi}{2}$

$$\Rightarrow u = U_m \sin(\omega t - \frac{\pi}{2}) = -U_m \cos(\omega t)$$

$$\rightarrow \text{ Kapacitance} \quad X_C = \frac{U}{I} = \frac{1}{C\omega}$$

RLC v sérii



$$U = \sqrt{U_R^2 + (U_L - U_C)^2} = I \sqrt{R^2 + (X_L - X_C)^2}$$

$$Z = \frac{U}{I} = \sqrt{R^2 + (X_L - X_C)^2} \quad - \text{ impedance}$$

Cílový výkon - reaktív / vnitřní výkon

- R: $\Delta\varphi = 0 \rightarrow$ reaktív $\Rightarrow P = UI$
 - L: $\Delta\varphi = \frac{\pi}{2} \rightarrow$ e. mag. pole $\Rightarrow P = 0$
 - C: $\Delta\varphi = -\frac{\pi}{2} \rightarrow$ e. l. pole $\Rightarrow P = 0$
- nízký
- $$P = \vec{U} \cdot \vec{I} = UI \cos(\Delta\varphi)$$

Oscilační obvod

- nabíjí se C \Rightarrow připoji se k L \Rightarrow E. el. pole kondenzátorem se mění na E. mag. pole až do když a dejí se periodicky opakuje

a naopak

- perioda vlastních kmitání: $U = U = L\omega = \frac{1}{C\omega} \Rightarrow \omega = \frac{1}{\sqrt{LC}}$

Síťový průvod ~ energetické, sdělovací soustava - 16

- trojfázový alternátor \Rightarrow trojfázová soustava sítidelného napětí
- fárové, sdružené napěti
- zapojení do trojúhelníku a do hvězdy
- elektromotor \Rightarrow silniční $s = 1 - \frac{f_2}{f_1}$
- transformátor: $\left. \begin{array}{l} u_1 = -N_1 \frac{\Delta \phi}{\Delta t} \\ u_2 = -N_2 \frac{\Delta \phi}{\Delta t} \end{array} \right\} \frac{U_2}{U_1} = \frac{N_2}{N_1} = k$ zapojení
napříjedno

$$\rightarrow C_2 \text{ zcela rotačná}: \text{ účinnost} \approx 1 \Rightarrow P = U \cdot I \quad \eta = \frac{P_2}{P_1}$$

$$\rightarrow \text{polohu ramek vypočítat}: U_1 I_1 = U_2 I_2 \Rightarrow \frac{U_2}{U_1} = \frac{I_1}{I_2}$$

- oscilační obvod $\omega_0 = \frac{1}{\sqrt{LC}}$

- shmené, nucené kmity, rezonance

\Rightarrow elmag. kmity \Rightarrow dvojrozdílce međem

- elmag. vlnění: ne vzdálenosti \times od zdroje spočítaní α

$$u = U_m \sin(\omega(1-\alpha)) = U_m \sin\left(\frac{2\pi}{T}\left(1 - \frac{x}{c}\right)\right) = U_m \sin\left[2\pi\left(\frac{1}{T} - \frac{x}{c}\right)\right]$$

↳ rovnice postupné vlny

- meri vodivci \vec{E} , indukce \vec{B} $\rightarrow \vec{E} \perp \vec{B} + \vec{c}$

- působení dipol - na konci kmitajícího v $\frac{I^0}{I} \left. \right\} \frac{\lambda}{2}$
"anténa"

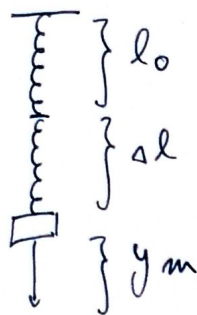
- vysílač: oscilátor - modulátor - anténa (mikrofon)

- přijmač: anténa - laditelský LC - demodulátor (reproduktor)

- mikrofon a reproduktor

Harmonický oscilátor - 19

- pružinový oscilátor $\ddot{y} = \frac{F}{\kappa l - y} \Rightarrow \vec{F}_p = \kappa(l-y)$



$$\rightarrow y=0: \kappa l = mg \Rightarrow \kappa l = \frac{mg}{g} \quad \ddot{y} = -\kappa y$$

$$\Rightarrow \vec{F}_v = \kappa \left(\frac{mg}{\kappa} - y \right) - mg = -\kappa y \quad \ddot{y} = -\kappa y$$

$$\Rightarrow \vec{F}_v = m \cdot \ddot{a} = m \cdot \ddot{y}$$

$$\Rightarrow m \ddot{y} + \kappa y = 0 \quad \rightarrow y = y_m \sin(\omega t)$$

$$\Rightarrow -mgy\omega^2 + \kappa y = 0 \quad \dot{y} = y_m \cos(\omega t) \cdot \omega$$

$$y(\kappa - m\omega^2) = 0 \quad \ddot{y} = -y_m \sin(\omega t) \omega^2 = -y\omega^2$$

$$\Rightarrow \underline{\omega_0 = \sqrt{\frac{\kappa}{m}}} \quad \Rightarrow \kappa = m\omega^2$$

- slunné, méně slunné, rezonanční

- sítadlový oscilátor - princip superpozice

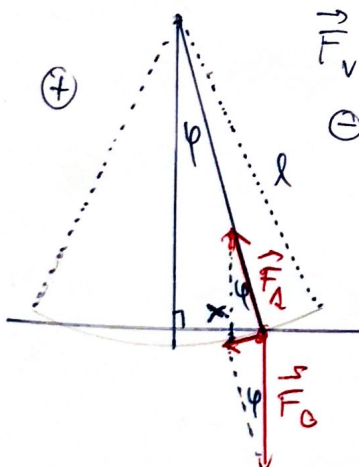
- energie pružinového oscilátoru: $E_k = \frac{1}{2}mv^2 = \frac{1}{2}m\omega^2 y_m^2 \cos^2(\omega t)$

- rezonanční poloha: $E_k = \max, E_n = 0$

$$\Rightarrow E_k = W = - \int_0^y F_v dy = \int_0^y \kappa y dy = \frac{1}{2} \kappa y^2$$

- lyračkový oscilátor

znaménkový konverence



$$\vec{F}_v = \vec{F}_1 + \vec{F}_G$$

$$\vec{F}_v = \vec{F}_G \sin \vec{l} = -mg \sin \varphi$$

$$a = \ddot{v} = l \ddot{\varphi} = l \ddot{\varphi} \Rightarrow \vec{F}_v = m \cdot l \ddot{\varphi}$$

$$\Rightarrow l \ddot{\varphi} = -g \sin \varphi \Rightarrow l \ddot{\varphi} + g \underbrace{\sin \varphi}_{\text{pro } \varphi \rightarrow 0} = 0$$

$$\Rightarrow \varphi = \varphi_m \sin(\omega t)$$

$$\ddot{\varphi} = -\omega^2 \varphi \Rightarrow -l\omega^2 \varphi + g \varphi = 0$$

$$\varphi(g - l\omega^2) = 0$$

- konst \times konst

\downarrow
1T

\downarrow
2leva doprava

$$\hookrightarrow \frac{1}{2}T = T$$

$$\Rightarrow \underline{\omega = \sqrt{\frac{g}{l}}}$$

Mechanické vlnění - 20

- Emisním oscilátorem x vlnění v řadě bočn.
- postupné vlnění - stejná amplituda
 - průčné - dĺžka
 - podélné - rýchlosť
- λ, T, f
- rovnice postupné vlny: $x = \varphi \cdot N$

$$y = y_m \sin\left(\frac{2\pi}{T}(\lambda - \varphi)\right) = y_m \sin\left(2\pi\left(\frac{1}{T} - \frac{x}{\lambda}\right)\right) = y_m \sin\left[2\pi\left(\frac{1}{T} - \frac{x}{\lambda}\right)\right]$$

- interference vlnění

$$\Delta \varphi = 2\pi \left(\frac{1}{T} - \frac{x_1}{\lambda} - \frac{1}{T} + \frac{x_2}{\lambda} \right) = 2\pi \underbrace{\frac{x_2 - x_1}{\lambda}}_{\Delta s} = \frac{2\pi}{\lambda} \Delta s$$

- max.: $\Delta \varphi = \lambda \cdot 2\pi \quad \Delta s = \lambda \cdot 2$
- min.: $\Delta \varphi = \lambda \cdot 2\pi + \pi \quad \Delta s = \lambda \cdot \lambda + \frac{\lambda}{2}$

- odraz vlnění - na pevném konci \rightarrow fáze se mění na opačnou
na volném konci \rightarrow fáze se nemění

- stojaté vlnění = interference postupného a odrazeného

- isotropní prostředí

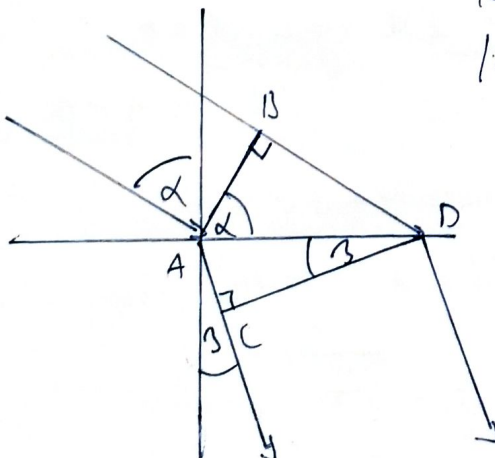
- Huygenvsov princip

- odraz vlnění $\alpha = \alpha'$

- lom vlnění

$$\begin{aligned} |BD| &= \lambda \cdot n_1 \\ |AC| &= \lambda \cdot n_2 \end{aligned} \quad \left\{ \begin{array}{l} \frac{n_1}{n_2} = \frac{|BD|}{|AC|} = \frac{|AD| \sin \alpha}{|AD| \sin \beta} \\ \end{array} \right.$$

$$\rightarrow \frac{n_1}{n_2} = \frac{\sin \alpha}{\sin \beta} = M$$



Světlo a dalsí druhy elektromagnetického záření - 21

- druhý: $R - IR - světlo - UV - RTG - \gamma \rightarrow f$

- elektromagnetické vlnění je působením elektromagnetického pole \vec{B} , \vec{E}

- různá prostředí - frekvence je všude stejná

$$v = \frac{1}{\sqrt{\epsilon \mu}}$$

$$\lambda = \frac{c}{f}$$

- viditelné světlo: $\lambda \in \langle 390 \text{ nm} ; 760 \text{ nm} \rangle$, barva světla

- absorbce, rozptýl, odraz, lom

- prostředí - průhledné (nerozptýl), pruživé (rozptýl), nepruživé (absorbce)
| isotropní, anisotropní | odraz

- Huygensemův princip

- odraz a lom $\frac{\sin i}{\sin r} = \frac{n_1}{n_2}$

Snellův zákon

- absolutní index lomu $n = \frac{c}{v}$

- relativní index lomu $n_{21} = \frac{n_2}{n_1}$

- úplný odraz světla

- pouze v optice houstšího do viditelného $\sin \delta_m = \frac{n_2}{n_1}$

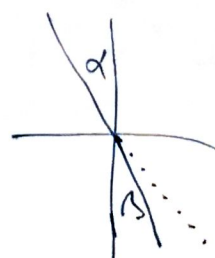
- disperze světla

- rozklad bílého světla na barevné složky

$$f = \frac{v}{\lambda} \Rightarrow f \propto \frac{1}{\lambda} \Rightarrow f \propto \frac{1}{n}$$

$$f \propto \frac{1}{n} \Rightarrow f \propto \frac{1}{\lambda} \Rightarrow \text{odchylka}$$

$$\rightarrow f \Leftrightarrow \text{odchylka}$$



Vlastnosti světla - 22

- interference - koherentní vlnění

$$\left. \begin{array}{l} \text{max } \Delta S = k\lambda \\ \text{min } \Delta S = k\lambda + \frac{\lambda}{2} \end{array} \right\}$$
- Youngův experiment
- interference na tenké vrstvě

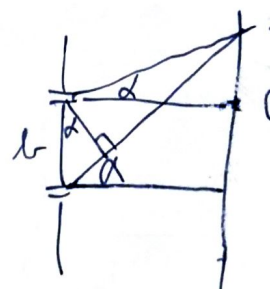
řidší → hustší - jenž lzece \Rightarrow různá fáze

$$n_1 = n_2 \Rightarrow \frac{2d}{n} = \frac{\lambda}{c} \Rightarrow \lambda = 2d \frac{n}{n-1} = 2nd$$

$$\left. \begin{array}{l} \text{max } 2nd = k\lambda - \frac{\lambda}{2} \\ \text{min } 2nd = k\lambda \end{array} \right\} k = 1, 2, 3 \dots$$

- polarizace
 - odrazením a lomem - $\alpha_1 + \beta = 90^\circ$
 - absorbcí - polaroid propouštějící jen 1 směr \vec{E}
 - dvojlomem - anisotropní látky \rightarrow řádný a mimořádný paprsek
- difrakce

- ohyb na ostře hraně
- ohyb na dvoustraně (optické minice)



$$\sin \alpha = \frac{k\lambda}{b}$$

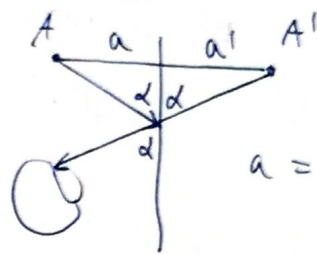
$$\Rightarrow b \sin \alpha = k\lambda$$

Optické zrcadlování - 23

- primární světlo, reálna lom a odraz, nerovnost chodu světelných paprsků

Optické soustavy

- zrcadlovací prvky
- druhý a příklady



$$a = a'$$

zdánlivý, rozptýlený
stejné veliky

Rovinné zrcadlo

- Evropské zrcadlo - paraxiální prostor \times parabola $f = \frac{1}{4a}$

• daleké: $f > 0$;

• vypuklé: $f < 0$; zdánlivý, rozptýlený, rovinný
 $a' < 0$ $y' > 0$

$$z = \frac{y'}{y} = -\frac{a'}{a}$$

$$\frac{z}{r} = \frac{1}{f} = \frac{1}{a} + \frac{1}{a'}$$

Cíky

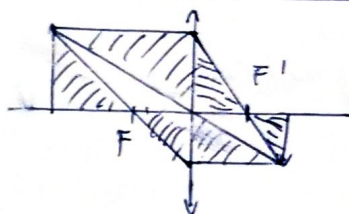
• spojky \rightarrow vypuklé \textcircled{O} \textcircled{D} \textcircled{D} $r > 0$

• rozptyly \rightarrow daleké \textcircled{I} \textcircled{I} \textcircled{I} $r < 0$

• spojka \times rozptylka, senza cíky

• optická mohutnost $\varphi = \frac{1}{f} = \left(\frac{m_2}{m_1} - 1 \right) \left(\frac{1}{r_1} + \frac{1}{r_2} \right)$ m_2 - cíka
 m_1 - prostředí

- zrcadlování senzorů cíky



$$\frac{y'}{y} = -\frac{a'}{a} = -\frac{f}{a-f} = -\frac{a'-f}{f}$$

$$\frac{a'}{a} = \frac{a'-f}{f} \Rightarrow a'f = a'a - fa \Rightarrow \frac{1}{f} = \frac{1}{a} + \frac{1}{a'}$$

Optika oča

- křížovozrakost - před silnicí $\rightarrow \textcircled{X}$

- dolerozrakost - za silnicí $\rightarrow \textcircled{I}$

- akomodace - změna číky

dolejší bod ∞

blížejší bod 10 cm

konvenční vzdálenost 25 cm

- rozmíření σ

- lupa bez lupy $\text{sg}\varphi = \frac{g}{d}$
s lupy $\text{sg}\varphi' = \frac{g}{f}$

$$\left. \begin{array}{l} f = \frac{g'}{g} \approx \frac{\text{sg}\varphi'}{\text{sg}\varphi} = \frac{d}{f} = d' \\ \end{array} \right\}$$

→ vzhledem k rozšíření lupy



Základy kvantové fyziky - 24

- Max Planck - kvantová hypotéza $E = hf = h\nu$ $h = 6,626 \cdot 10^{-34} \text{ J s}$
→ 1900
- fotoelektrický jev
- Einsteinova rovnice fotoelektrického jevu $= ZZMC$
$$\left\{ \begin{array}{l} hf = hfm + \frac{1}{2} m_e v^2 \\ \rightarrow 1905: F. J. (\rightarrow Nobelova cena), STR, Brownův pohyb \end{array} \right.$$
- vlnově - corpuskulární dualismus snížila → rozpor s klasickou f.
- foton: $E^2 = (\underbrace{mc^2}_m)^2 + (\underbrace{hc}_0)^2 \Rightarrow E = hc \Rightarrow f = \frac{hf}{c} = \frac{h}{\lambda}$
- Comptonův jev: po nárazu $\downarrow E \Rightarrow \downarrow f \Rightarrow \uparrow \lambda$ - rozpor se klasickou
→ rentgenové rádiové na grafitové desce
- de Broglieov vlny $\lambda = \frac{h}{p}$
- vlnová fáze $|Y|^2$
- Heisenbergův princip neurčitosti $s_x \times s_p \geq \frac{\hbar}{2}$ - spor s klas. fyzikou
- Bohrův model atomu
 - energetické vrstvy
 - kvantová čísla $\begin{cases} n & E \sim \frac{1}{n^2} \quad r \sim n^2 \\ l & \sim \text{rozměr orbitál} \\ m & \sim \text{orientace orbitál v prostoru} \\ s & \sim \text{spin elektronu} \end{cases}$
- Pauliho princip
- interakce snížila s látkou
 - absorce
 - samorohná emise
 - stimulovaná emise → vznik koherenčního vlnení
- Laser = Light Amplification by Stimulated Emission of Radiation

Atomové jádro, jaderná energie - 25

- nukleony, mezikoky \times isotopy
- silná síla = $137 EM = 10^6$ slabá = 10^{-3} G - druhá mukleony fokrovadě
- slabá síla: β^- rozpad $n \rightarrow p^+ + e^- + \bar{\nu}_e^-$
 β^+ rozpad $p^+ \rightarrow n + e^+ + \nu_e^-$
- varebná energie = práce, kterou využívá silná síla při vytvoření jádra
 \Rightarrow jádro ztrácí $E \Rightarrow$ ztrácí m
 $\Rightarrow Z \cdot m_p + (A-Z) m_n = m_j + B \quad \sim B = E_v \cdot c^2$
- stabilita jádra
 $E_v = \frac{E_v}{A} \quad , \quad {}^{56}_{26}\text{Fe}$
- Radioaktivita - dochází k rozštěpení atomových jader a k vydání E
 - samovolné štěpení radionuklidů
 - jaderné reakce – štěpení \times jaderná fáze
- radioaktivní rázničky α (${}^4_2\text{He}$), $\beta^- (e^-)$, $\beta^+ (e^+)$, γ , n
- Zákon radioaktivního průměnů
 $N = N_0 \left(\frac{1}{2}\right)^{\frac{t}{T}} = N_0 e^{\frac{t}{T} \ln\left(\frac{1}{2}\right)} = N_0 e^{-\frac{\ln 2}{T} t} = N_0 e^{-\lambda t} \quad \lambda = \frac{\ln 2}{T}$ (rozpadová konst.)
- aktivita radionuklidů
= počet jader, co se rozpadly za Δt / Δt
 $A = \left| \frac{dN}{dt} \right| = \left| -\lambda N_0 e^{-\lambda t} \right| = A_0 e^{-\lambda t} \quad A_0 = \lambda N_0 \quad [A] = \text{Becquerel}$
- Jaderné reakce: $X + \alpha \rightarrow Y + b$
serce striela produkty
 \rightarrow plasty ZZ E , ZZ M , ZZ Q , ZZ A

$${}^{235}_{92}\text{U} + {}^1_0\text{M} \rightarrow {}^{141}_{56}\text{Ba} + {}^{92}_{36}\text{Kr} + 3 {}^1_0\text{M}$$

moderátor \rightarrow grafit (epomalování)
regulační tyče \rightarrow bor (pohlcování)